

西日本工業大学 正員 ○赤司 信義
 西日本工業大学 正員 石川 誠
 山口大学工学部 正員 斎藤 隆

自由落下水流が水面に突入する際に多量の空気泡が混入されること及び下流水深と対応した流れの拡散によって著しく水勢が減弱されるところはよく知られてゐる。著者らはこれまでに系統的に明らかにされてゐる、混入空気量を実験的に評価してみたが、水中への空気泡の混入機構が不明なため混入空気量の関数関係を今一つ十分な形で表示し得てゐない。本文では空気混入量と水面突入後の流れと突入前の大気中にあらうジェットの分散と密接な関係をもつてあらうことから、大気中のジェットの分散を実験的に把握し、大気中のジェットと水面突入後の流れとの対応関係を見出そうとするものである。

図1はジェットの分散
 に伴なって水面に突入する
 流れの概略を示したもの
 のである。図中に示す B_{S_1} ,
 B_{S_0} , B_{g_0} はそれぞれジ
 ベットの密度が 0.95, 0.5,
 0.1 に相当するジェットの分
 散幅を示してゐる。大気
 中でのジェットの密度は
 二相流測定器(KANDMAX)
 を用意した。

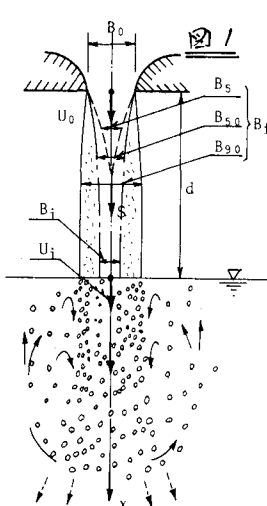


図2

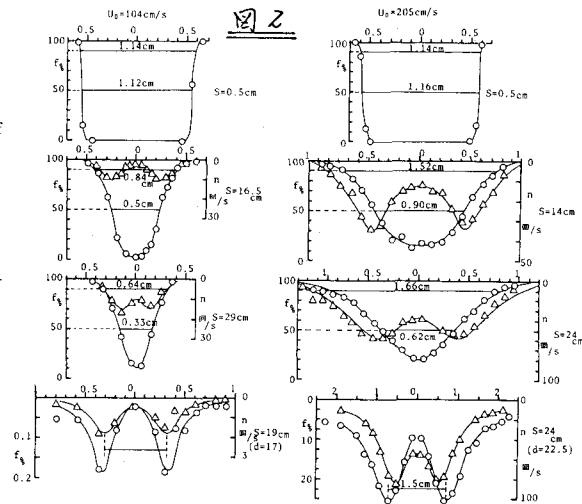


図2は大気中に噴出さ
 れたジェットのボイド分
 布 f と空気との接触頻度
 n 及び水面突入直後(水面より 1.5
 2 cm)のものを示してゐる。 $U_0 =$
 104 cm/s の場合、 B_{S_0}, B_{g_0} ともに
 光細りになり、 $U_0 = 205 \text{ cm/s}$ の場
 合、 B_{S_0} は光細りだが、 B_{g_0} は光太
 りになつてゐる。大気中の接触
 頻度 n の最大値はボイド分布の変
 曲率 ($f = 50\%$) に認められ、水
 脈の変動が最も大きいところが生
 じてゐる。水面突入後のボイド分
 布は水面突入直前の空気との接
 触頻度分布と非常に関係が強く、水
 脈の変動が水中への空気混入と密
 接な関係してゐることが分かる。

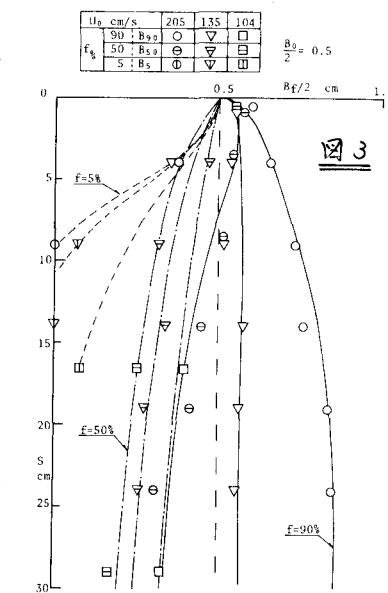


図3

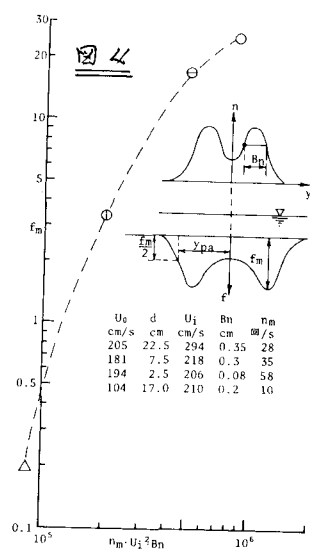


図3は大気中のジェットの分散度を B_5 , B_{50} , B_{90} Kについて示したものである。図中の実線は B_{90} を、虚線は B_5 を平均的に連ねたものである。一実線は初速 U_0 で噴出されたジェットをボテンシャル流とした時の幅を示したもので図中の B_{50} と非常に近い値を示している。 B_5 はジェットのコア領域で、 B_{90} はジェットの分散限界と考えられる。コアは噴出速度 U_0 が小さく長く、ジェットの限界は噴出流速 $U_0 + 120 \text{ cm/s}$ でほぼ B_0 K一致しそれより大きくなるとノズル直後より直ちに擴がり次第にその変化は小さく一定値に近づいていくようである。ジェットの分散限界が一定値に近づくのはノズル出口での横方向の速度によってジェットの断面が一様に膨張しようとするとジェットの中心部の圧力が大気圧より低くなるから周囲の大気圧におきえられて断面の拡大が妨げられて次第に横方向の速度が自由落下的過程で消滅するのであるうと坂本らは述べている。

図4は水面突入直後の断面内最大ボイド率と $\lambda = U_i^2 B_m$ の関係を示したもので、 λ は突入直前の大気との接触最大回数、 U_i は突入速度、 B_m は図中に示すように接觸頻度分布の内側変曲点より外側までの幅をとったもので、 B_m が水膜運動に伴なう水膜と大気との界面の凹凸高さに比例するのではないかと考えていい。図よりほぼ一直線で近似できるようである。 $\lambda = U_i^2 B_m$ は単位時間、単位長さ当たりに作用するせん断力に相当するのではないかと考える。次に水面突入後の速度分布についてある深さ以後(外部域=気泡停滞層のほぼ1/2)の速度分布が自由噴流の速度分布式で十分近似可能であったことを考慮して、水面突入後の流れを仮想水面突入幅 B_i 、突入速度 U_i 、初期ボイド率 $f_0 = Q_a / (U_i - 25) B_i$ を定め気泡が水流に追随して一様に下降すると考えて軸対称速度噴流に因する Morton の方法をこうした二次元密度噴流モデルに適用して検討してみる。速度分布及ぶ速度分布は $U/U_m = \exp(-y^2/B_i^2)$ 、 $P/P_m = \exp(-y^2/x^2 B_i^2)$

$\lambda = \nu_c P = (P_0 - P) g / P_w$ 基礎式は $dQ/dx = 2\alpha U_m$ 、 $dM/dx = -\int (P_0 - P) g / P_w dy$ 、 $\int (P_0 - P) g / P_w dy = \text{const.}$ である。 α は進行係数で、ここでは自由噴流の進行係数としてしらべていい。0.06 を用いて計算を行った。又速度分布代表幅を示す入の実験結果を示したもののが図5であるが、ばらつきが大きく傾向性を認めにくないのでここでは入 = 1.5 として用いた。仮想水面噴出幅として用いた B_i は図3に示したボテンシャル流としたときの幅を用いていい。これまでも測定した流入空気量 Q_a を用いて初期 f_0 を定めて水流特性の計算結果を図6、7中に示す。 U_m は中心軸上水流最大速度を、 y_m は1/2流速幅を示していい。突入流れのほとんどは水面附近で速度が近くデーンズスト近似できる範囲は越えてはいるもののハザレも大幅的な傾向はよく説明されていいようである。仮想突入幅 B_i が適切かどうか、又水面突入流れを規定する流入空気量については突入前のジェットの分散特性と水中への空気混入構造につけても今後検討を進めてみたい。

参考文献
 1) 坂本, 丸田, 機器, 電研報告
 1965, No. 65-068
 2) 東司, 斎藤石川, 水工学
 3) Morton, B.R.; JFM, Vol. 5
 1959

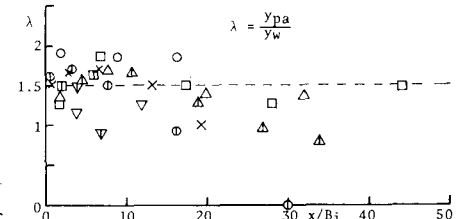


図5 気泡幅と水流幅の比

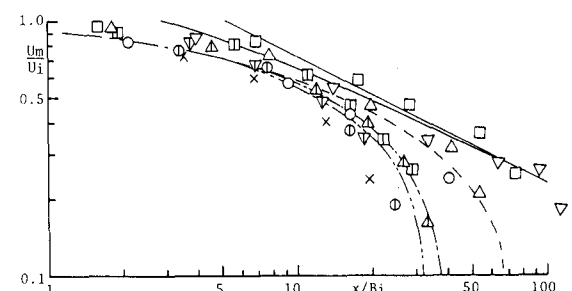


図6 水面突入後の最大流速の変化

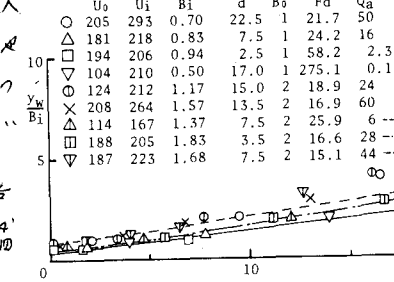


図7 水面突入後の水流振動幅の変化

